

FIG. 1.

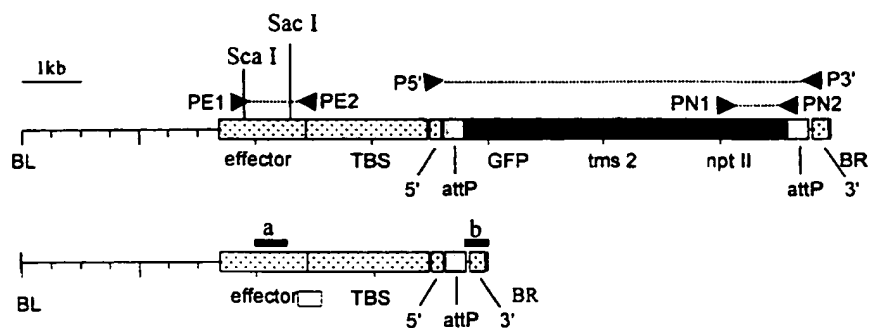


Fig. 2.

A



B

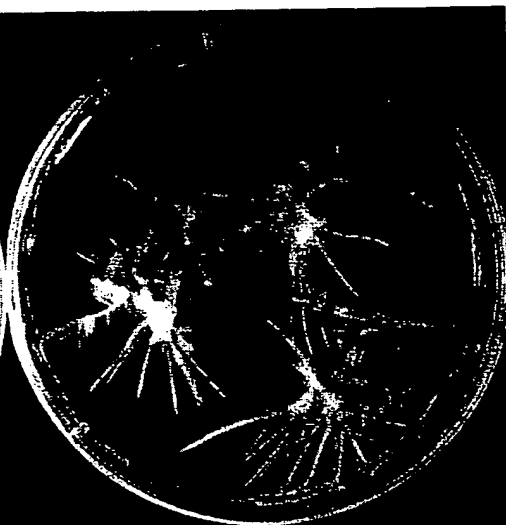
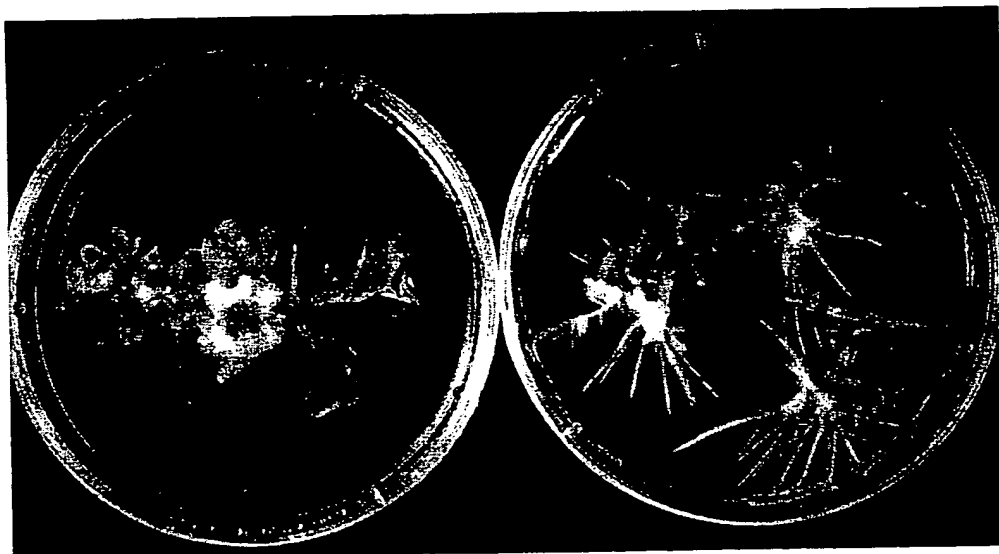


Fig. 3.



D

5' attP (352bp)

ATCCACTAGCCACGACAGGTAAGATTATCGGATCCCGAGCTTTGCACTGGATTGCGAGGCTTTGTGCTTCTCTGGAGTGC

GACAGGTTTGATGACAAAAAATTAGCGCAAGAAGACAAAAATCACCTTGCCTAATGCTCTGTTACAGGTCACCTAATACC

ATCTAAGTAGTTGATTCATAGTGACTGCATATGTTGTGTTTTACAGTATTATGTAGTCTGTTTTTTATGCAAAATCTAAT

TTAATATATTGATATTTATATCATTTTACGTTTCTCGTTCAGCTTTTTTATACTAAGTTGGCATTATAAAAAAGCATTGC

TTATCAATTTGTTGCAACGAACAGGTCACCTATCAGTCAAAATAAAATCATTATTTGATTTCAATTTTGGACCCAAGCTT

3'

TTTTTGGCTAACATTTTCCATGGTTTTATGATCTAGTGGCTATGCGGCCGCGGATCTGAAGACTTGTGTTTACAATTTT

TTATATTTGTTTTTAAGTTTTGAATATATGTTTTCATGTGTGATTTTACCGAACAAAAATACCGGTTCCCGTCCGATTTT

GATTTAACCCGACCGGATCGTATCGGTTTTTCGATTACCGTATTTATCCCGT

FIG. 4.

